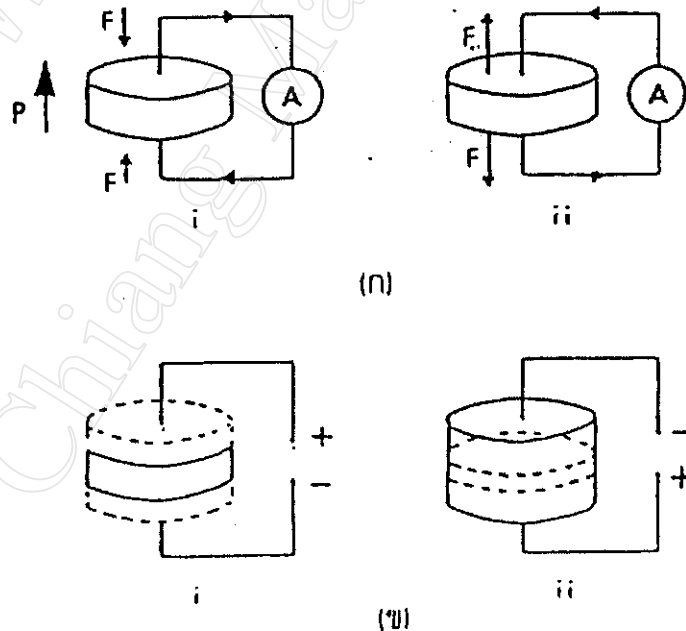


บทที่ 2

ทฤษฎี

2.1 ความเป็นเพียโซอิเล็กทริก

สมบัติความเป็นเพียโซอิเล็กทริก คือ สมบัติที่เกี่ยวข้องกับการเปลี่ยนแปลงพลังงานกลเป็นพลังงานไฟฟ้า หรือเปลี่ยนจากพลังงานไฟฟ้ามาเป็นพลังงานกล ซึ่งเกี่ยวเนื่องกับสมบัติเฉพาะของสาร สารเพียโซอิเล็กทริกนี้มีสมบัติทำให้มีโพลาริเซชัน (Polarization) เมื่อมีแรงกระทำที่ผิวและในทางกลับกันเมื่อให้สนามไฟฟ้ากับสาร จะทำให้เกิดการเปลี่ยนแปลงขนาดดังในรูป 2.1 แสดงให้เห็นถึงปรากฏการณ์เพียโซอิเล็กทริกแบบ direct นั่นคือ จะมีการเปลี่ยนแปลง polarization เมื่อสารถูกแรงกระทำ หรือเกิดความเค้น (Stress) ในขณะที่ปรากฏการณ์เพียโซอิเล็กทริกแบบ converse จะเกี่ยวข้องกับการเปลี่ยนขนาดและปริมาตร หรือความเครียด (Strain) ในสนามไฟฟ้าที่ใส่



รูป 2.1 แสดงปรากฏการณ์เพียโซอิเล็กทริกแบบ direct (ก) และแบบ converse (ข)

ซึ่งปรากฏการณ์เพียโซอิเล็กทริกเหล่านี้ สามารถอธิบายได้ด้วยสมการที่ 2.1 และ 2.2 ดังนี้

$$D = dX + \epsilon^r E \quad (2.1)$$

$$x = s^E X + dE \quad (2.2)$$

เมื่อ	D	คือ	ค่า electric displacement (พิจารณาว่ามีค่าเท่ากับการโพลาริเซชัน)
	x	คือ	ค่าความเครียด (stress)
	E	คือ	ขนาดของสนามไฟฟ้า
	X	คือ	ค่าความเค้น (strain)
	d	คือ	ค่าสัมประสิทธิ์เพียโซอิเล็กทริก (piezoelectric coefficient)
	s	คือ	ค่าความยืดหยุ่นของวัสดุ (material compliance) อันเป็นส่วนกลับของความแข็งตัว (inverse of stiffness)
	\epsilon	คือ	ค่าสภาพยอมสัมพัทธ์ (relative permittivity)

สมการที่ 2.1 อธิบายปรากฏการณ์แบบ direct คือ เมื่อมีการให้ความเครียดทางกลศาสตร์ จะทำให้เกิด polarization ส่วนสมการที่ 2.2 อธิบายปรากฏการณ์ converse คือ เมื่อให้สนามไฟฟ้าแก่สาร จะเกิดการเคลื่อนที่ทางกลศาสตร์ ซึ่งทั้งสองสมการเป็นการอธิบายจุดของสมการที่มีความสัมพันธ์กับคุณสมบัติระหว่างการหมุนที่แตกต่างกันไปของวัสดุ

ก่อนอื่นต้องทำความเข้าใจก่อนว่าในระบบผลึกทั่วไป (Crystallographic System) นั้น คำว่า point group คือ ประเภทของการทำให้เกิดสมมาตรของผลึกหรือ โมเลกุลรอบจุดเดี่ยว ๆ 1 จุดในที่ว่าง โดยระหว่างกระบวนการจุดนี้จะอยู่หนึ่งกับที่ ความเป็นเพียโซอิเล็กทริกจะขึ้นกับสมบัติของหน่วยเซลล์พื้นฐานของโครงผลึกของสารที่มีผลึกของหน่วยเซลล์ไม่สมมาตรกับจุดศูนย์กลางของเซลล์ (Noncentrosymmetry) มีการแบ่งชนิดของสมมาตรผลึกออกเป็น 32 กลุ่ม หรือ 32 point groups ซึ่งใน 32 point groups นี้ จะมีสารที่มีหน่วยเซลล์ไม่สมมาตรกับจุดศูนย์กลางเซลล์อยู่ 21 point groups แต่มีเพียง 20 point groups เท่านั้นที่มีสมบัติเพียโซอิเล็กทริก ส่วนอีก 1 point group จะไม่เป็นเพราะมีสมมาตรสมมาตรอย่างอื่นมาเกี่ยวข้อง ทำให้ปริมาณการจัดทางไฟฟ้ามีการหักล้างกันหมด

2.2 ผลของทิศทางที่มีต่อสมบัติเพียโซอิเล็กทริก

โดยปกติแล้วผลของเพียโซอิเล็กทริกจะขึ้นอยู่กับทิศทาง เนื่องจากผลของเพียโซอิเล็กทริกมีคุณสมบัติเป็นเทนเซอร์ (tensor) เมื่อสารเพียโซอิเล็กทริกถูกทำให้เกิดความเค้นจะมีโพลาริเซชันเกิดขึ้น สามารถอธิบายได้ดังสมการ

$$P_i = d_{ijk} X_{jk} \quad ; \quad ijk = 1, 2, 3 \quad (2.3)$$

เมื่อ	ijk	คือ ทิศทางในแกนคาร์ทีเซียน
	P_i	คือ โพลาริเซชันที่เกิดขึ้นในทิศทาง i ของเนื้อสารเมื่อถูกทำให้เกิดความเครียด
	d_{ijk}	คือ สัมประสิทธิ์เพียโซอิเล็กทริกในทิศทาง ijk
	X_{jk}	คือ ความเค้นที่ใส่ให้กับสารเพียโซอิเล็กทริกในทิศทาง jk

สามารถแสดงตัวอย่างของโพลาริเซชันที่เกิดขึ้นในทิศทาง i เพื่ออ้างอิงจากสมการ (2.3) ดังนี้

$$P_i = d_{111}X_{11} + d_{112}X_{12} + d_{113}X_{13} + d_{121}X_{21} + d_{122}X_{22} + d_{123}X_{23} + d_{131}X_{31} + d_{132}X_{32} + d_{133}X_{33} \quad (2.4)$$

โดยทั่วไปสารจะมีความเค้น X_{jk} กับ X_{kj} ที่สมมูลกัน ดังนั้นเมตริกสามารถลดลงจากความเค้น 9 ตัว มาเป็น 6 ตัว ที่เป็นอิสระต่อกัน และเขียนแทนด้วย

$$\begin{array}{ccc} X_{11} & X_{12} & X_{13} \\ X_{21} & X_{22} & X_{23} \\ X_{31} & X_{32} & X_{33} \end{array} \rightarrow \begin{array}{ccc} X_1 & X_6 & X_5 \\ X_6 & X_2 & X_4 \\ X_5 & X_4 & X_3 \end{array} \quad (2.5)$$

ดังนั้นผลของเพียโซอิเล็กทริกแบบ direct จะเป็น

$$P_i = d_{ijk} X_j \quad ; \quad i = 1, 2, 3 \quad j = 1, 2, \dots, 6 \quad (2.6)$$

เมื่อ X_1, X_2, X_3 เป็นความเค้นที่กระทำตามแนวยาว และ
 X_4, X_5, X_6 เป็นความเค้นที่กระทำตามแนวเฉือน

ในการทำงานเดียวกันสำหรับกรณีของเพียโซอิเล็กทริกแบบ converse เมื่อมีการให้สนามไฟฟ้า จะมีขนาดที่เปลี่ยนแปลงไป ความเครียดสามารถพิจารณาได้จากสมการ

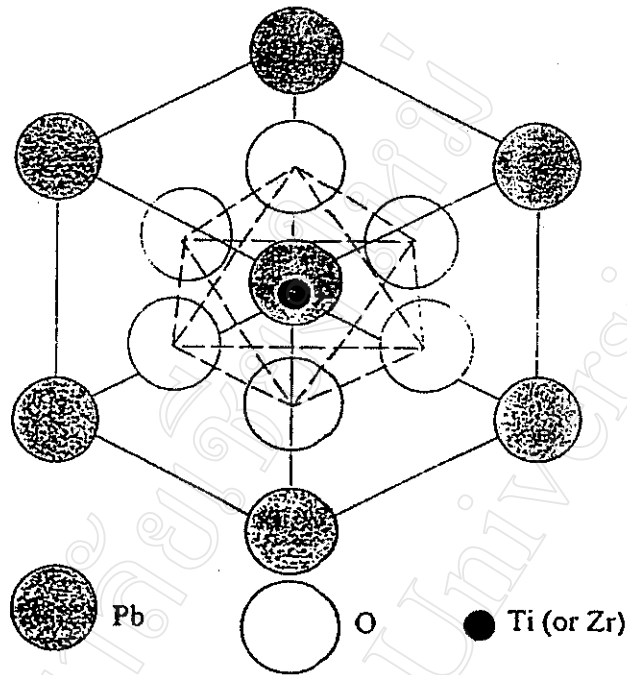
$$X_j = d_{ij} E_i \quad ; i = 1, 2, 3 \quad j = 1, 2, \dots, 6 \quad (2.7)$$

เมื่อ X_j คือ ความเครียดที่เกิดขึ้นในทิศทาง j ของผลึกเพียโซอิเล็กทริก
 E_i คือ สนามไฟฟ้าที่ให้ในทิศทาง i ของสาร

2.3 โครงสร้างสารของเลดเซอร์โคเนติตานเนต

ในปี ค.ศ. 1947 มีการค้นพบสารที่มีโครงสร้างแบบ perovskite ซึ่งสารตัวแรกที่มีการค้นพบและมีสมบัติเป็นเซรามิกส์เพียโซอิเล็กทริก คือ แบเรียมิตานเนต ซึ่งมีการนำมาใช้อย่างกว้างขวาง ในฐานะที่เป็นตัวเก็บประจุที่มีค่าคงที่ไดอิเล็กตริกสูง ส่วนเพียโซอิเล็กทริกทรานสดิวเซอร์จะใช้พีแซดที (เลดเซอร์โคเนติตานเนต) เพราะเซรามิกส์พีแซดทีนี้มีอุณหภูมิคูรีสูง (ประมาณ 350°C) มีค่าสัมประสิทธิ์เพียโซอิเล็กทริก และ Piezoelectric coupling factor สูงมาก

ลักษณะโครงสร้างแบบ perovskite ของเลดเซอร์โคเนติตานเนต ($\text{Pb}(\text{Ti},\text{Zr})\text{O}_3$) หรือเรียกย่อว่า พีแซดที (PZT) นี้ จะประกอบไปด้วยเลดเซอร์โคเนต (PbZrO_3) และเลดิตานเนต (PbTiO_3) กระจายกันอยู่ สมมติให้โครงสร้างผลึกมีรูปสี่เหลี่ยมลูกบาศก์ Pb^{+2} เป็นไอออนที่อยู่ตามมุมของสี่เหลี่ยมลูกบาศก์ และ O^{-2} อยู่ที่ face center ส่วน Ti^{+4} และ Zr^{+4} จะอยู่เลื่อนไปจาก body center เล็กน้อย ดังรูปที่ 2.2



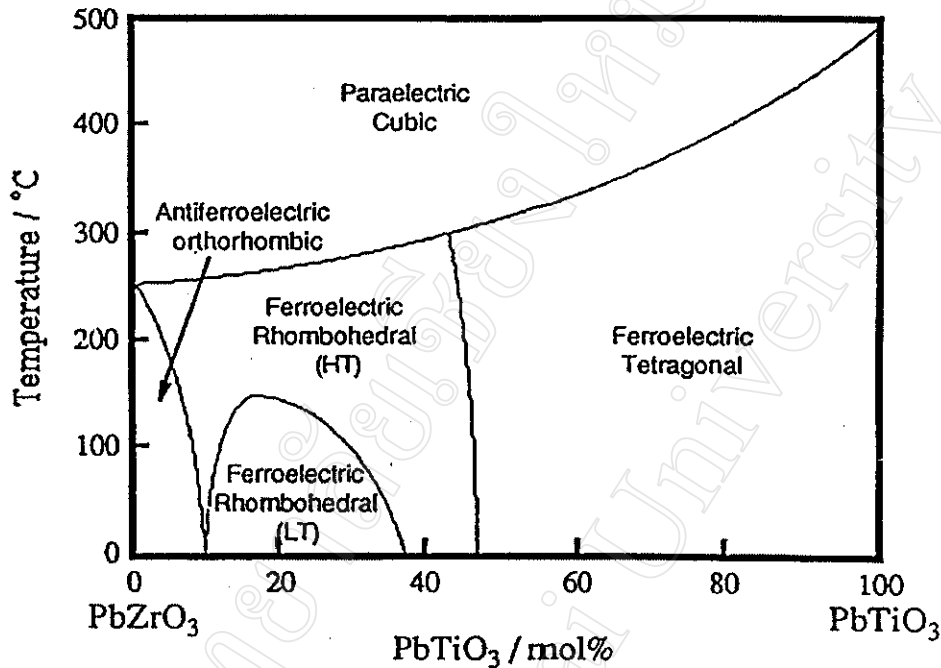
รูปที่ 2.2 แสดงโครงสร้างผลึกของ PZT ที่เป็นแบบ perovskite

เนื่องจากเลดเซอร์โคเนติตาเนต ประกอบด้วย เลดเซอร์โคเนต (PbZrO_3) และเลดติตาเนต (PbTiO_3) โครงสร้างผลึกจึงขึ้นอยู่กับอุณหภูมิและอัตราส่วนของเลดเซอร์โคเนต และเลดติตาเนต แสดงถึง phase diagram ของระบบ ($\text{Pb}(\text{Ti,Zr})\text{O}_3$) ดังรูปที่ 2.3

สำหรับ PbZrO_3 บริสุทธิ์จะมีโครงสร้างเป็น orthorhombic และเป็น antiferroelectric ในขณะที่ PbTiO_3 บริสุทธิ์มีโครงสร้าง perovskite เป็น tetragonal และเป็นเฟอร์โรอิเล็กทริก ในวัสดุที่มีสมบัติ antiferroelectric นั้น แต่ละหน่วยเซลล์จะมีโพลาริเซชันที่เกิดขึ้นและหน่วยเซลล์ที่อยู่ติดกันจะมีทิศทางของโพลาริเซชันเรียงตัวอยู่ในทิศทางตรงกันข้าม เป็นผลทำให้โพลาริเซชันสุทธิในวัสดุ antiferroelectric มีค่าเป็นศูนย์

เมื่อมีการเติม PbTiO_3 ประมาณ 5 mol % ลงใน PbZrO_3 บริสุทธิ์ จะทำให้เกิดเฟส rhombohedral ที่เป็นเฟอร์โรอิเล็กทริก แต่ละส่วนผสมระหว่าง PbTiO_3 และ PbZrO_3 ซึ่งเป็นที่เชคคท์ที่มีการนิยมใช้มากที่สุดจะอยู่ที่บริเวณใกล้ขอบเฟส (Phase boundary) ระหว่างเฟส rhombohedral และเฟส tetragonal ณ ที่ขอบเขตนี้จะมีผลึกเฟอร์โรอิเล็กทริกของ rhombohedral และ เฟส tetragonal รวมกันอย่างสมดุล โดยที่เกือบจะไม่มีความสัมพันธ์กับอุณหภูมิ ซึ่งจะเรียกว่า Morphotropic Phase

Boundary (MPB) พบว่ายิ่งใกล้ MPB สารจะมีความเป็นเพียโซอิเล็กทริกแรงมาก โดยจะเสถียรในช่วงอุณหภูมิ $-200\text{ }^{\circ}\text{C}$ ถึง $150\text{ }^{\circ}\text{C}$



รูปที่ 2.3 เฟสไดอะแกรมระบบ PbTiO_3 - PbZrO_3

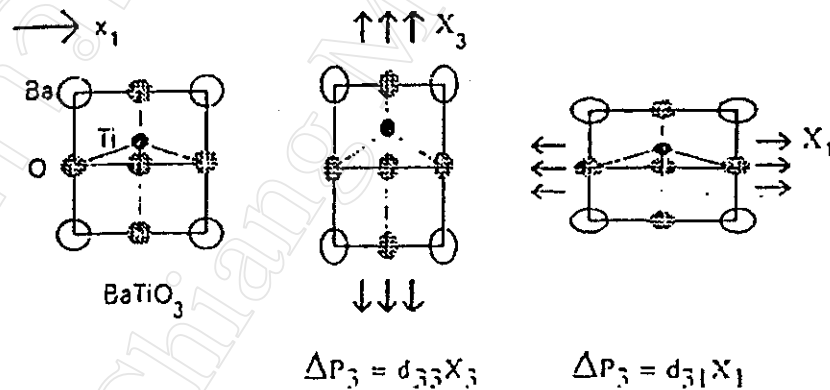
พีแซดทีจะมีสมบัติเป็น paraelectric และมีโครงสร้างเป็น perovskite ที่อุณหภูมิสูง แต่ถ้าเซรามิกส์พีแซดทีถูกทำให้มีอุณหภูมิต่ำกว่าอุณหภูมิกูรีแล้ว โครงสร้างจะเปลี่ยนเป็นเฟอร์โรอิเล็กทริกในเฟส tetragonal หรือ rhombohedral ซึ่งขึ้นกับอัตราส่วนผสมระหว่าง PbTiO_3 และ PbZrO_3

ในการเตรียมเซรามิกส์พีแซดทีนั้น เป็นการยากที่จะเตรียมส่วนผสมของเซรามิกส์พีแซดทีในบริเวณ MPB ที่แน่นอน เพราะที่ขอบเขตนี้เฟสทั้งสอง คือ tetragonal และ rhombohedral นี้มีการกระจายอยู่ร่วมกัน ความกว้างของบริเวณที่กระจายอยู่จะไม่แน่นอน ซึ่งจะขึ้นกับปัจจัยต่าง ๆ ที่ควบคุมในกระบวนการเตรียมเซรามิกส์ ดังนั้นการทำวัสดุพีแซดทีเฟสเดี่ยว คือ เฟส tetragonal เดี่ยว ๆ หรือเฟส rhombohedral เดี่ยว ๆ นั้นต้องทำให้เซอร์โคเนียมและิตาเนียมมีการรวมตัวเป็นเนื้อเดียวกันในระดับอะตอม ซึ่งเป็นเรื่องที่ทำได้ยาก แต่ในปัจจุบันกระบวนการเตรียมเซรามิกส์ได้มีการพัฒนาขึ้น ซึ่งสามารถลดบริเวณที่มีการกระจายอยู่ร่วมกันได้

2.4 สัมประสิทธิ์เพียโซอิเล็กทริก

ความเป็นเพียโซอิเล็กทริกขึ้นกับทิศทางตั้งที่สามารถแสดงสมการได้ในรูปเมตริก เป็นผลทำให้สัมประสิทธิ์เพียโซอิเล็กทริกมีหลายตัวตามทิศทางต่าง ๆ ที่สัมพันธ์กับผลที่เกิดเมื่อมีการให้ความเค้น หรือสนามไฟฟ้าในทิศทางต่าง ๆ ดังรูปที่ 2.4 ตามปกติแล้วเมื่อแผนภาพให้ทิศทางโพลาร์ในทิศทาง 3 โดยที่ทิศทาง 1 และ 2 ตั้งฉากกันและเป็นทิศทางที่สมมูลกัน ดังนั้นเซรามิกส์ที่เป็นเฟอร์โรอิเล็กทริกจะมีทิศทางที่สัมประสิทธิ์เพียโซอิเล็กทริกไม่เป็นศูนย์ ได้แก่ d_{33} , d_{31} และ d_{15}

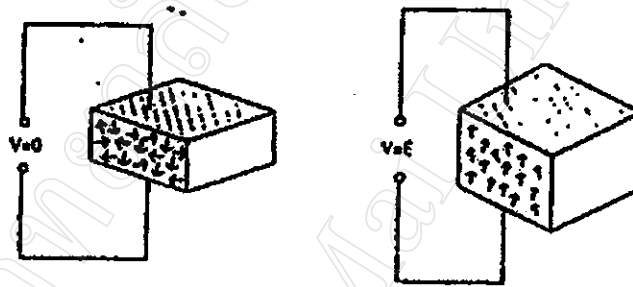
- d_{33} เป็นสัมประสิทธิ์เพียโซอิเล็กทริกตามยาว มีความสัมพันธ์กับโพลาริเซชันในทิศทาง 3 ที่เกิดจากความเครียดในทิศทางเดียวกัน
- d_{31} เป็นสัมประสิทธิ์เพียโซอิเล็กทริกตามขวางสัมพันธ์กับโพลาริเซชันในทิศทาง 3 ที่เกิดจากความเครียดในแนวตั้งฉาก (1 หรือ 2)
- d_{15} เป็นสัมประสิทธิ์เพียโซอิเล็กทริกในแนวเฉือน สัมพันธ์กับโพลาริเซชันในทิศทาง 1 ที่เกิดจากความเครียดเฉือนรอบแกน 2



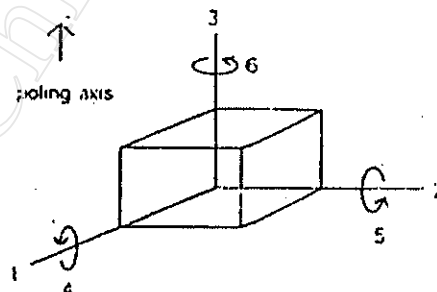
รูปที่ 2.4 แผนภาพสองมิติของโครงสร้างแบบ perovskite ของ BaTiO₃ แสดงการเลื่อนตำแหน่งของไอออนิตาเนตในทิศทาง 3

2.5 Poling

โดยทั่วไปสารเพียโซอิเล็กทริกเซรามิกส์ที่ประกอบด้วยหน่วยเซลล์เล็ก ๆ มีไดโพลในเนื้อสารเรียงตัวกันไม่เป็นระเบียบซึ่งเป็นผลทำให้สารเซรามิกส์มีความเฉื่อย ไม่ว่องไว (inactive) ไม่สามารถวัดค่าทางเพียโซอิเล็กทริกได้ จึงต้องมีการ poling หรือ polarizing สารเซรามิกส์พีแซดที โดยการให้สนามไฟฟ้า ซึ่งสนามไฟฟ้าที่มีค่าสูงเพียงพอจะทำให้ไดโพลในเนื้อสารมีการจัดเรียงตัวกันใหม่ในทิศทางเดียวกันตามทิศทางสนามไฟฟ้าที่ใส่เข้าไป ซึ่งการจัดเรียงตัวกันใหม่ของไดโพลจะมีผลทำให้สารมีการขยายตัวเล็กน้อยตามทิศทาง การ poling แต่จะมีการหดตัวเล็กน้อยในทิศทางที่ตั้งฉากกับการ poling สามารถแสดงได้ดังรูปที่ 2.5 และการกำหนดแกนและสัญลักษณ์ของแกนดังรูปที่ 2.6



รูปที่ 2.5 แสดงผลการ poling และทิศทางของไดโพลและขนาดของสารที่เปลี่ยนแปลงไป



รูปที่ 2.6 แสดงเครื่องหมายของแกนอ้างอิงของสารเพียโซอิเล็กทริก

เมื่อให้สนามไฟฟ้าที่แรงพอที่จะทำให้เนื้อสารเซรามิกส์พีแซดที่มีการจัดเรียงโดเมน 180° ไปตามทิศทางของสนามที่ให้ สนามจะมีผลกับโดเมน 90° ของเฟส tetragonal และโดเมน 70° และ 109° ของเฟส rhombohedral ซึ่งเป็นผลที่ทำให้เกิดการเปลี่ยนแปลงขนาดของเซรามิกส์ โดยจะมีการยืดออกในทิศทางของสาม และหดตัวในทิศทางตั้งฉาก แต่หลังจากที่เอาสนามออกแล้ว ความเค้นที่ทำให้เกิดการจัดเรียงตัวของโพลาร์ในทุกแห่งมีการปรับเปลี่ยนกลับไปในทิศทางเดิม และส่วนใหญ่แล้วที่จัดเรียงตามสนามยังคงอยู่ถาวร

การโพลที่มีประสิทธิภาพมากที่สุดของเซรามิกส์พีแซดที่นั่น จะอยู่ที่บริเวณใกล้กับ MPB เพราะโพลาริเซชันที่เกิดขึ้นเองภายในแต่ละเกรนสามารถถูกปรับเปลี่ยนทิศทางในการจัดเรียงหนึ่งในสิบสี่ทิศทางที่เป็นไปได้ (8 ทิศทางของ [111] ของหน่วยเซลล์ rhombohedral และ 6 ทิศทางของ [100] ของหน่วยเซลล์ tetragonal) ด้วยเหตุนี้จึงทำให้มีสมบัติเพียโซอิเล็กทริกของเซรามิกส์พีแซดที่ค่อนข้างมาก โดยเฉพาะบริเวณใกล้ MPB

2.6 Electromechanical Coupling Factor ของสารเพียโซอิเล็กทริก

ค่า Electromechanical Coupling Factor (k) เป็นตัวบอกระดับประสิทธิภาพในการเปลี่ยนพลังงานในสารเพียโซอิเล็กทริก ซึ่งนิยามดังนี้

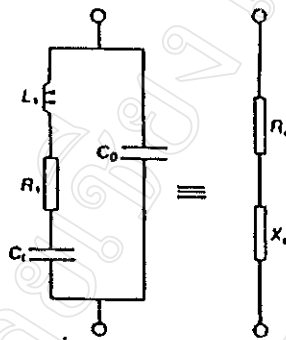
$$k^2 = \frac{\text{Output Mechanical Energy}}{\text{Input Electrical Energy}} \quad (2.9)$$

or

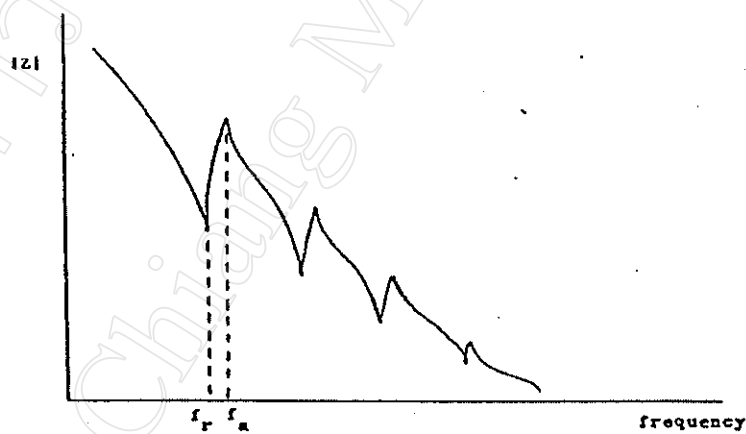
$$k^2 = \frac{\text{Output Mechanical Energy}}{\text{Input Electrical Energy}} \quad (2.10)$$

Electromechanical coupling factor นี้เป็นปริมาณเทนเซอร์ ซึ่งในแต่ละทิศทางของ Electromechanical coupling factor (k_{ij}) นี้จะสัมพันธ์กับสัมประสิทธิ์เพียโซอิเล็กทริก (d_{ij}) ซึ่งค่า Electromechanical coupling factor ในผลึกเพียโซอิเล็กทริกจะมีค่าน้อย ($k < 0.1$) แต่ในเซรามิกส์ที่เป็นเฟอร์โรอิเล็กทริกจะมีค่าสูง ($0.4 \leq k \leq 0.7$) และยิ่งกว่านั้น ในผลึกที่เป็นเฟอร์โรอิเล็กทริกจะมีค่าสูงมาก ($k \leq 0.9$) ทั้งนี้เนื่องจากการเปลี่ยนแปลงพลังงานจะไม่สมบูรณ์ ค่า k จึงน้อยกว่า 1.0

โดยทั่วไปพฤติกรรมทางไฟฟ้ากระแสสลับของเซรามิกส์เพียโซอิเล็กทริก เมื่ออยู่ในสนามไฟฟ้าหรือความเค้น สามารถแสดงวงจรเทียบเท่าดังปรากฏในรูปที่ 2.7 และเมื่อทำการวัดค่า impedance จากวงจรจะสามารถแสดงความสัมพันธ์ของ impedance กับ frequency ได้ดังรูปที่ 2.8



รูปที่ 2.7 แสดงวงจรเทียบเท่าสำหรับการวัด resonance ของชิ้นสารเพียโซอิเล็กทริก



รูปที่ 2.8 แสดงกราฟความสัมพันธ์ระหว่าง impedance กับความถี่

จากการพิจารณาค่าความแตกต่างของความถี่ ระหว่างค่าความถี่ของ impedance สูงสุด (antiresonance ; f_a) กับความถี่ของ impedance ต่ำสุด (resonance ; f_r) ค่า electromechanical coupling coefficient ; k สามารถคำนวณได้จากสมการดังต่อไปนี้

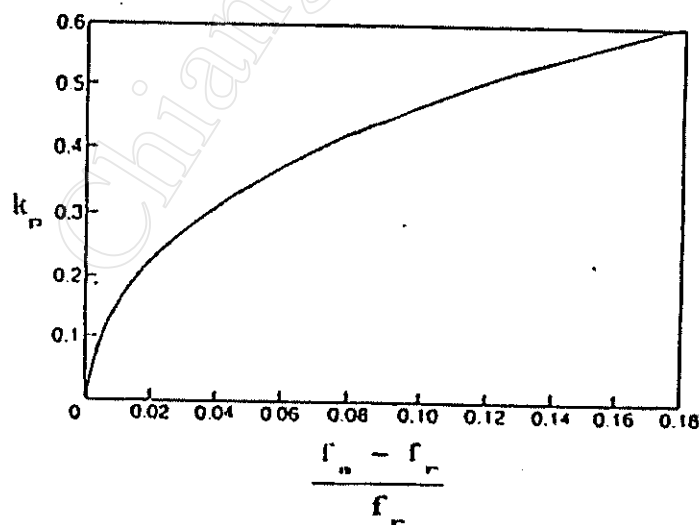
$$k_n = \sqrt{\frac{\pi f_s \tan\left(\frac{\pi f_s - f_r}{2 f_r}\right)}{2 f_r}} \quad \text{for Cylindrical rod} \quad (2.11)$$

$$k_n = \sqrt{\frac{\frac{\pi f_s \tan\left(\frac{\pi f_s - f_r}{2 f_r}\right)}{2 f_r}}{1 + \frac{\pi f_s \tan\left(\frac{\pi f_s - f_r}{2 f_r}\right)}{2 f_r}}} \quad \text{for Rectangular plate} \quad (2.12)$$

$$k_p = \sqrt{1 - k_p^2} \text{ (Bessel function)} \quad \text{for Disc} \quad (2.13)$$

ค่า electromechanical coupling coefficient ของสารรูปแผ่นจานกลม (disc) มักเรียกอีกอย่างหนึ่งว่า planar coupling coefficient ; k_p และจะเห็นได้ว่าสมการที่ (2.13) มีความยุ่งยากของ Bessel function เข้ามาเกี่ยวข้อง จึงมักแสดงผลลัพธ์ออกมาในรูปกราฟดังแสดงในรูปที่ 2.9 หรืออาจคำนวณจากสมการที่ (2.14)

$$k_p = \sqrt{\frac{2.5(f_s^2 - f_r^2)}{f_r^2} + 0.038} \quad (2.14)$$

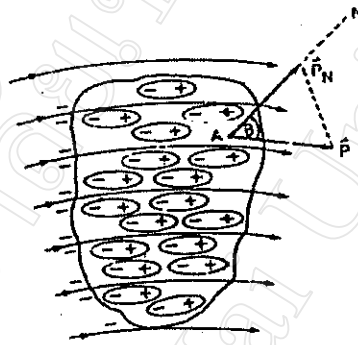


รูปที่ 2.9 แสดงความสัมพันธ์ระหว่างค่า k_p กับ $\frac{f_s - f_r}{f_r}$ ของสารที่เป็นแผ่นจานกลม

2.7 สมบัติไดอิเล็กตริก

Polarization คือ ปรากฏการณ์เมื่อวางวัตถุในสนามไฟฟ้า โมเลกุลหรืออะตอมของมันจะกลายเป็นขั้วคู่ไฟฟ้า มีทิศเดียวกับสนามไฟฟ้าที่ใส่เข้าไป ไม่ว่าจะเป็เพราะการเคลื่อนที่ของอิเล็กตรอนปรวนแปรไปหรือการจัดวางตัวของขั้วคู่ที่ถาวรก็ตาม

การเกิดโพลาริเซชัน จะเทียบได้ว่าเป็นขั้วคู่ไฟฟ้าขนาดใหญ่ที่มีแนวโน้มน้ำจะเคลื่อนที่ไปในทิศทางที่สนามมีความเข้มมากขึ้น พิจารณาดังรูปที่ 2.10

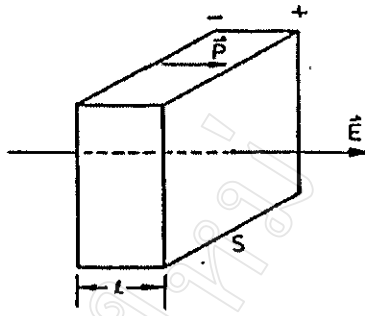


รูปที่ 2.10 แสดงสนามไฟฟ้าที่ทำให้วัตถุเกิดมีโพลาริเซชัน

สำหรับตัวกลางที่ไม่เป็นตัวนำ แต่เมื่อมีสนามไฟฟ้าทำให้เกิดการโพลาริเซชันได้ เรียกว่า ไดอิเล็กตริก (dielectric) การเกิดโพลาริเซชันทำให้มีประจุบวกทางด้านหนึ่งและลบทางด้านตรงข้ามของวัตถุ วัตถุนั้นจะเทียบได้ว่าเป็นขั้วคู่ไฟฟ้าขนาดใหญ่ที่มีแนวโน้มน้ำจะเคลื่อนที่ไปในทางที่สนามมีความเข้มเพิ่มขึ้น

เวกเตอร์ของโพลาริเซชัน (\vec{P}) สำหรับวัตถุใด ๆ มีคำจำกัดความว่า เป็นโมเมนต์ขั้วคู่ไฟฟ้าของตัวกลางต่อหนึ่งหน่วยปริมาตร ดังนั้นถ้า \vec{p} เป็นโมเมนต์ขั้วคู่ที่เกิดขึ้นในแต่ละอะตอมหรือโมเลกุล และ n เป็นจำนวนอะตอมหรือโมเลกุลต่อหนึ่งหน่วยปริมาตร เวกเตอร์ของโพลาริเซชันจะเป็น

$$\vec{P} = n \vec{p} \quad (2.15)$$



รูปที่ 2.11 แสดงภาพแผ่นวัตถุที่ถูกโพลาไรซ์แล้ว

พิจารณาวัตถุที่เป็นแผ่นหนา l และมีพื้นผิว S วางตั้งฉากกับสนามเรียบ \vec{E} ดังรูปที่ 2.11 โพลาริเซชัน \vec{P} จะขนานกับ \vec{E} และตั้งฉากกับ S ด้วย ปริมาตรของแผ่นวัตถุนี้คือ lS ดังนั้นไดโพลโมเมนต์ทางไฟฟ้า คือ

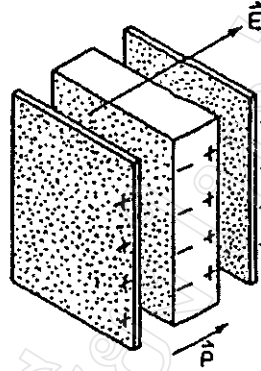
$$\vec{P} (lS) = (\vec{P} S) l \quad (2.16)$$

แต่ lS คือ ระยะระหว่างประจุบวกและลบซึ่งปรากฏบนผิวทั้งสอง ดังนั้นจากคำจำกัดความของโมเมนต์คู่ควบ ซึ่งมีค่าเท่ากับประจุคูณด้วยระยะทาง จึงสรุปได้ว่าประจุทั้งหมดที่ปรากฏบนแต่ละผิวมีค่าเป็น PS ดังนั้นประจุต่อหน่วยบนพื้นที่ คือ σ_p บนผิวของแผงวัสดุนี้เป็น P หรือ

$$\sigma_p = P \quad (2.17)$$

แม้ว่าผลข้างต้นนี้จะได้มาจากการคำนวณ โดยอาศัยวัสดุที่มีรูปทรงเรขาคณิต แต่โดยทั่วไปก็ยังสามารถเป็นจริงและสามารถให้คำจำกัดความได้ว่า ประจุต่อหน่วยพื้นที่บนผิวของแผ่นวัตถุที่โพลาไรซ์จะมีค่าตัวเลขเท่ากับองค์ประกอบของ โพลาริเซชัน ในแนวที่ตั้งฉากกับผิวของแผ่นวัตถุ

ไดอิเล็กตริกที่มีโพลาไรเซชัน (Polarized dielectric) มีประจุจำนวนหนึ่งบนผิวของมัน (และทั่วทั้งปริมาตรถ้ามีโพลาไรเซชันสม่ำเสมอ) ประจุที่เกิดจากโพลาไรเซชันเหล่านี้คงเกาะอยู่กับอะตอมหรือโมเลกุล หรือก๊าซที่แตกตัวเป็นไอออนจะมีประจุไฟฟ้าที่สามารถเคลื่อนที่ได้ตลอดทั่ววัตถุนั้นจึงเรียกว่า ประจุอิสระ นี่คือการแตกต่างระหว่างประจุอิสระกับประจุเนื่องจากโพลาไรเซชัน



รูปที่ 2.12 แสดงไดอิเล็กตริกที่ถูกวางไว้ระหว่างแผ่นขนานที่มีประจุชนิดตรงกันข้าม

พิจารณาแผ่นวัสดุที่เป็นไดอิเล็กตริกที่วางอยู่ระหว่างแผ่นตัวนำที่ขนานกัน ดังรูปที่ 2.12 และมีประจุจำนวนเท่ากันแต่ต่างชนิดกัน ความหนาแน่นของประจุอิสระที่ผิวแผ่นซ้ายมือเป็น $+\sigma$ และแผ่นขวามือเป็น $-\sigma$ ประจุเหล่านี้ทำให้เกิดสนามไฟฟ้าที่โพลาริเซชันแผ่นวัสดุนี้ก่อให้เกิดประจุเนื่องจากโพลาริเซชันบนแต่ละผิวของแผ่นวัสดุ ประจุเนื่องจากโพลาริเซชันเหล่านี้มีเครื่องหมายตรงกันข้ามกับประจุบนแผ่นตัวนำ ดังนั้นประจุเนื่องจากโพลาริเซชันบนผิวของแผ่นไดอิเล็กตริกจะทำหน้าที่ลดประจุอิสระบางส่วนบนแผ่นตัวนำ ถ้าให้ P เป็นขนาดโพลาริเซชันในแผ่นวัสดุนี้ ความหนาแน่นประจุที่ผิวหน้าด้านซ้ายของแผ่นวัสดุ คือ $\sigma = -P$ ขณะที่ผิวหน้าด้านขวาเป็น $\sigma = +P$ ความหนาแน่นประจุที่ก่อให้เกิดผลหรือประจุปรากฏที่ผิวด้านซ้าย จะเป็น

$$\begin{aligned} \sigma &= \sigma_f + \sigma_p \\ \text{or} \quad \sigma &= \sigma_f + P \end{aligned} \quad (2.18)$$

โดยที่ σ_f เป็นความหนาแน่นของประจุอิสระ จากลักษณะแบบเดียวกันทางด้านขวาได้ผลตรงกันข้าม ประจุที่ผิวเหล่านี้ทำให้เกิดสนามไฟฟ้าสม่ำเสมอในบริเวณนั้น นิยามว่า สนามไฟฟ้าที่ผิวด้านขวามีค่า ดังนั้นจะได้ว่า

$$\begin{aligned} E &= \frac{1}{\epsilon_0} (\sigma_f - P) \\ \sigma_f &= \epsilon_0 E + P \end{aligned} \quad (2.19)$$

สมการที่ (2.19) ให้ความสัมพันธ์ระหว่างประจุอิสระบนผิวของตัวนำที่ขนาน ไดอิเล็กตริก กับสนามไฟฟ้าในไดอิเล็กตริก และโพลาริเซชันของไดอิเล็กตริก ในกรณีที่พิจารณาอยู่ที่ E และ P เป็นเวกเตอร์ที่มีทิศทางเดียวกัน ดังนั้นสมการที่ (2.19) จึงเป็นปริมาณเวกเตอร์ใหม่ในรูปสนามเวกเตอร์มีชื่อเรียกว่า การขจัดทางไดอิเล็กตริก (electric displacement) ซึ่งนิยามได้ดังนี้

$$D = \epsilon_0 E + P \quad (2.20)$$

โดยทั่วไปโพลาริเซชัน \bar{P} ที่เกิดขึ้นจะเป็นสัดส่วนกับสนามไฟฟ้าจึงมักเขียนได้ว่า

$$P / \epsilon_0 E = \chi_e \quad (2.21)$$

เมื่อ χ_e คือ ค่าซึมซาบทางไฟฟ้า เป็นค่าคงที่ที่ไม่มีหน่วย
 ϵ_0 คือ สภาพยอมสัมพัทธ์ของสุญญากาศ ($= 8.85 \times 10^{-12} \text{ Fm}^{-1}$)

ดังนั้นสามารถเขียนสมการ (2.20) ได้ใหม่เป็น

$$D = \epsilon_0 E + \epsilon_0 \chi_e E = \epsilon_0 (1 + \chi_e) E \quad (2.22)$$

แต่โดยทั่วไปจะเขียนอยู่ในรูป

$$D = \epsilon_0 \epsilon_r E \quad (2.23)$$

เมื่อ ϵ_r คือ สภาพยอมสัมพัทธ์

2.8 การเตรียมสารเซรามิกส์เลดเซอร์โคเนตคิตาเนต (เซรามิกส์พีแซดที)

ในการนำเซรามิกส์พีแซดทีไปใช้งาน ต้องมีการเตรียมให้มีรูปทรงต่าง ๆ เช่น เป็นแผ่น แท่ง ทรงกระบอก ท่อ แท่งสี่เหลี่ยม วงแหวน จานกลม ฯลฯ จะมีขั้นตอนหลักในกระบวนการเตรียมอยู่ 3 ขั้นตอน นั่นคือ การเตรียมผง (powder preparation) การขึ้นรูป (green forming) ซึ่งปกติ มักใช้การอัด และขั้นตอนสุดท้ายคือ การเผาซินเตอร์ (sintering)

2.8.1 การเตรียมผง (Powder Preparation)

ปัจจุบันเทคโนโลยีการเตรียมผงสารพีแซดทีโดยทั่วไป มักจะได้จากวิธีการบดผสมแบบธรรมดา (conventional milling) และกระบวนการเผาแคลไซน์ (calcination processing) โดยการนำสารประกอบออกไซด์มาผสมแบบเปียก (wet-mixed) ในเครื่องบดแบบสั้น แล้วทำให้แห้ง หลังจากนั้นนำไปเผาแคลไซน์ที่อุณหภูมิประมาณ $800-1000\text{ }^{\circ}\text{C}$ จะได้สารที่เกาะตัวรวมกันเป็นก้อนแข็ง จึงต้องนำมาบดอีกครั้งให้แตกเป็นผง ผงนี้จะถูกฉีดพ่นทำให้แห้ง (spray-dry) จะได้ผงพีแซดทีสำหรับนำไปใช้ในการขึ้นรูป การเตรียมผงนี้มีข้อควรระวัง คือ ส่วนผสมทุกชนิดต้องมีการควบคุมอย่างละเอียด เพราะสมบัติของพีแซดทีขึ้นกับ PbO stoichiometry, อัตราส่วนของ Zr/Ti และ ปริมาณสารเจือต่าง ๆ

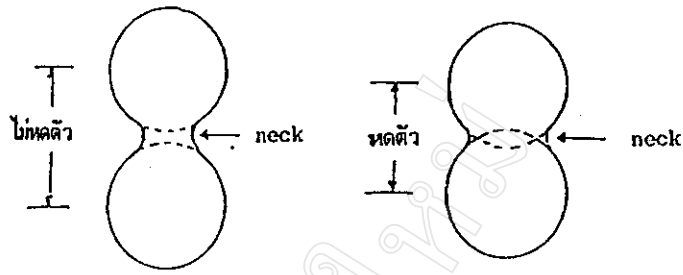
2.8.2 การขึ้นรูป (Green Forming)

การผลิตเซรามิกส์พีแซดที มีวิธีการขึ้นรูปอยู่หลายวิธี ดังที่ได้กล่าวมาแล้ว เช่น วิธีการอัด (dry-pressing), การทำเป็นแผ่น (tape-casting) ฯลฯ ในการอัดผงสารพีแซดทีนั้นจะทำการอัดผิวหน้าทั้งสองด้วยแรงดันสูง ๆ เมื่อผ่านการอัดผิวหน้าทั้งสองด้านของสารจะติดกันแน่นและคงรูปอยู่ได้ การอัดนั้นจะอัดให้แน่นได้จนถึงจุด ๆ หนึ่งเท่านั้น ไม่ว่าจะเพิ่มแรงดันขึ้นอีกเท่าใดก็ตาม

2.8.3 การเผาซินเตอร์ (Sintering)

ผงสารตัวอย่างที่ผ่านการอัดและคงรูปอยู่แล้ว สารตัวอย่างจะมีความแข็งแรงมากขึ้นด้วยการนำไปเผาที่อุณหภูมิสูง ๆ นั่นคือ เป็นการช่วยให้โมเลกุลยึดเหนี่ยวกันมากขึ้น เนื่องจากมีการกระตุ้นให้อะตอมของสารเกิดการแพร่เข้าหากัน ทำให้จุดสัมผัสระหว่างอนุภาคที่เรียกว่า คอ (neck) มีความหนาเพิ่มขึ้น ดังรูปที่ 2.13 ซึ่งการเกิดคอกมากจะทำให้สารตัวอย่างมีความหนาและแข็งแรงมากขึ้นกว่าเดิม

ขั้นตอนการเผาซินเตอร์เป็นขั้นตอนการทำให้อะตอมของสารเซรามิกส์พีแซดทีอยู่ใกล้ชิดกันมากขึ้น ซึ่งขั้นตอนนี้จะมีการระเหยของ PbO ที่อุณหภูมิประมาณ $1250-1300\text{ }^{\circ}\text{C}$ ด้วยเหตุนี้เซรามิกส์พีแซดทีโดยทั่วไปจะถูกเผาซินเตอร์ที่ในบรรยากาศของ PbO เพื่อป้องกันการสูญหายของ PbO นอกจากนี้สภาพเงื่อนไขอื่น ๆ ในการเผาซินเตอร์ เช่น อุณหภูมิ, เวลา, อัตราการเพิ่ม-ลดอุณหภูมิ เป็นต้น มีความสำคัญมากคือ PbO stoichiometry สำหรับเรื่องโครงสร้างระดับจุลภาค (microstructure) โดยเฉพาะขนาดของเกรน (grain size) ของเซรามิกส์พีแซดทีจะถูกควบคุมระหว่างกระบวนการเผาซินเตอร์ด้วย



รูปที่ 2.13 แสดงการเกิดคอก (neck)

ในขบวนการซินเตอร์นั้นสามารถแบ่งขั้นตอนการซินเตอร์ออกเป็น 3 ระยะ คือ

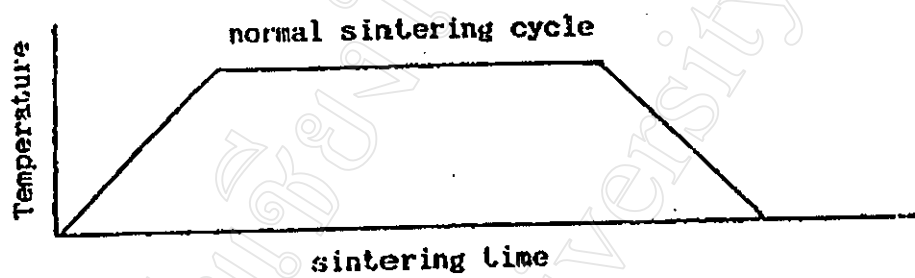
1. ระยะแรก (initial stage)
2. ระยะกลาง (intermediate stage)
3. ระยะสุดท้าย (final stage)

การเปลี่ยนแปลง microstructure ที่สังเกตได้จากระยะทั้งสามของขบวนการเผาซินเตอร์ แสดงได้ดังตารางที่ 2.1

ตารางที่ 2.1 แสดงการเปลี่ยนแปลงที่เกิดขึ้นระหว่างการเผาซินเตอร์

ระยะของการเปลี่ยนแปลง	การเปลี่ยนแปลงที่เกิดขึ้น
ระยะแรก (initial stage)	ผิวหน้าของอนุภาคมีความเรียบ, มีการเกิด grain boundary, เกิดคอก (neck) มีการเชื่อมต่อเกิดขึ้นที่รอบ ๆ อนุภาค, ความพรุนลดน้อยลงกว่า 12 %
ระยะกลาง (intermediate stage)	มีการหดตัวของรูที่เปิดเชื่อมต่อระหว่าง grain boundary นั่นคือเกิดรูพรุนเพิ่มขึ้น, มีการเติบโตของเกรนอย่างช้า ๆ
ระยะสุดท้าย (1) (final:1)	รูพรุนที่เกิดขึ้นจะเป็นรูปิด, มีก๊าซที่เกิดขึ้นจากการเผาโดยมีความหนาแน่นประมาณ 92 %, รูพรุนที่เกิดขึ้นระหว่าง grain boundary จะปิด ซึ่งการหดตัวของรูพรุนจะเป็นตัวจำกัดขนาดของเกรน
ระยะสุดท้าย (2) (final:2)	เกรน ส่วนใหญ่จะมีขนาดใหญ่ขึ้น, รูพรุนที่อยู่ระหว่างเกรนขนาดใหญ่ขึ้นนั้นจะมีการหดตัวอย่างช้า ๆ

สำหรับอุณหภูมิที่ใช้ในการเผาซินเตอร์ถ้าผงสารไม่บริสุทธิ์พอ สารอาจมีการหลอมเหลวที่อุณหภูมิจำกัด (sintering temperature) ในขณะที่ผงสารชนิดเดียวกันแต่มีความบริสุทธิ์มากกว่าจะไม่หลอมเหลว นอกจากนี้อัตราการเพิ่มของอุณหภูมิของการเผาสารในกระบวนการซินเตอร์ที่เหมาะสมจะแสดงไว้ดังรูป 2.14

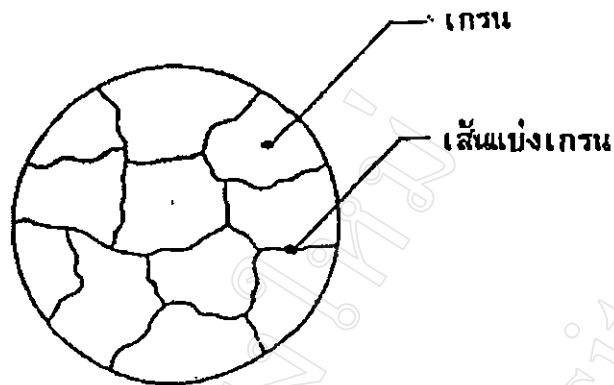


รูปที่ 2.14 แสดง normal sintering cycle

ดังนั้นเวลาที่ใช้ในกระบวนการซินเตอร์ก็เป็นปัจจัยที่สำคัญมากและเกี่ยวข้องกับอุณหภูมิด้วย นั่นคือ ที่อุณหภูมิสูง ๆ อะตอมของสารจะเกิดการแพร่อย่างรวดเร็ว จึงใช้เวลาในการเผาซินเตอร์สั้น แต่ถ้าใช้อุณหภูมิต่ำ การแพร่จะเป็นไปได้อย่างช้า ๆ จึงต้องใช้เวลาในการเผาเพิ่มขึ้น

2.9 โครงสร้างระดับจุลภาค

ลักษณะโครงสร้างระดับจุลภาคของสารโดยทั่วไปแล้ว จะประกอบด้วยผลึกเล็ก ๆ ที่เรียกว่าเกรน (grain) ภายในเกรนอะตอมของสารจะมีการจัดวางตัวในแบบเดียวกัน แต่ละเกรนจะถูกแบ่งแยกออกจากกันโดยจะมีเส้นแบ่งเกรน หรือที่เราเรียกว่า grain boundary เป็นตัวกั้น ซึ่งบริเวณนี้เป็นบริเวณที่จะเกิดปฏิกิริยาได้ง่ายกว่าส่วนอื่น เนื่องจากการจับตัวของอะตอมจะไม่แน่นเท่ากับภายในเกรน ดังนั้นเมื่อมีการนำสารตัวอย่างไปขัดผิวหน้าและผ่านการ etching จะมีผลทำให้อะตอมในบริเวณเส้นแบ่งเกรนถูกกัดกร่อนเป็นร่อง เมื่อส่องดูด้วยกล้องจุลทรรศน์ส่วนที่เป็นร่องนี้จะไม่สะท้อนแสง ทำให้สามารถมองเห็นเส้นแบ่งเกรนได้ สามารถแสดงลักษณะดังกล่าว ดังรูปที่ 2.15



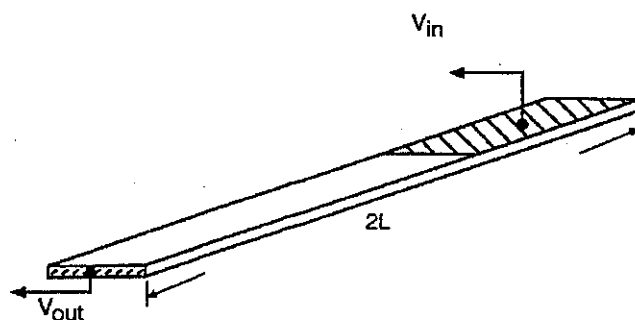
รูปที่ 2.15 แสดงลักษณะโครงสร้างทางจุลภาคของเกรน

นอกจากที่กล่าวมาในการศึกษาโครงสร้างทางจุลภาค ขนาดของเกรนก็เป็นสิ่งสำคัญ เนื่องจากมีผลต่อพื้นที่และความยาวของเส้นแบ่งเกรน โดยขนาดของเกรนนั้นจะขึ้นอยู่กับจำนวนของนิวเคลียสที่เกิดขึ้น และอัตราการลดลงของอุณหภูมิ กล่าวคือถ้าลดอุณหภูมิให้เย็นตัวลงอย่างช้า ๆ จำนวนนิวเคลียสจะเกิดขึ้นน้อย ทำให้เกรนมีขนาดใหญ่ ในทางตรงกันข้ามถ้าลดอุณหภูมิตลงอย่างรวดเร็ว ผลที่ได้จะมีจำนวนนิวเคลียสเกิดขึ้นมากและเกรนที่ได้จะมีขนาดเล็ก

2.10 ความรู้พื้นฐานในการประยุกต์เพียโซอิเล็กทริก ในหม้อแปลง

2.10.1 การต่อขั้วสารเพียโซอิเล็กทริกเพื่อประยุกต์ใช้ทำเป็นหม้อแปลง

โดยพื้นฐานของเพียโซอิเล็กทริกทรานส์ฟอร์มเมอร์จะประกอบไปด้วยขั้วไฟฟ้า (electrode) 2 จุดที่แตกต่างกัน ประกบติดอยู่กับอุปกรณ์เพียโซเซรามิกส์เพียงชิ้นเดียว คลื่นนิ่ง (standing wave) ที่มีความยาวคลื่นเชิงกลเท่ากับความยาวของแท่งเพียโซเซรามิกส์เท่านั้นที่จะส่งผ่านกำลังสูงสุดให้กับแท่งอุปกรณ์เพียโซเซรามิกส์ที่เป็นแกนร่วมของขั้วไฟฟ้าทั้งสอง

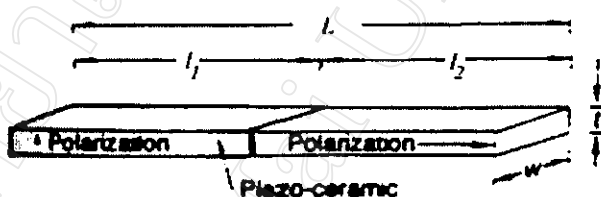


รูปที่ 2.16 แสดงการต่อขั้วของสารเพียโซอิเล็กทริกทรานส์ฟอร์มเมอร์

เมื่อให้แหล่งจ่ายที่เป็นกระแสสลับกับเพียโซอิเล็กทริกทรานสฟอร์มเมอร์จะทำให้อุปกรณ์เพียโซเซรามิกส์เกิดการสั่น คลื่นเชิงกลนี้จะถูกส่งผ่านชั้นสารชั้นที่เป็นด้านขาเข้าไปยังด้านออก ด้วยปัจจัยของการเชื่อมโยงไฟฟ้าเชิงกล และที่ด้านขาออกก็จะเกิดปรากฏการณ์ stiffness effect ตรงกันข้ามกับขาเข้าจึงกลายเป็นแรงดันส่งออกไป สำหรับการพิจารณาเพื่อเลือกเป็นอุปกรณ์เพียโซเซรามิกส์ในเพียโซอิเล็กทริกทรานสฟอร์มเมอร์จึงต้องดูอัตราส่วนคุณสมบัติที่เรียกว่า anisotropy ระหว่าง k_t/k_p

2.10.2 รูปแบบโครงสร้างพื้นฐานของเพียโซอิเล็กทริกทรานสฟอร์มเมอร์

ในการพิจารณาโครงสร้างที่เป็นรูปแบบพื้นฐานที่จะแสดงให้เห็นนี้ เป็นรูปแบบอย่างง่ายที่ใช้ในการอธิบายปรากฏการณ์ในการที่สารเพียโซอิเล็กทริก สามารถที่จะประยุกต์ใช้ทำเป็นตัวเพียโซอิเล็กทริกทรานสฟอร์มเมอร์ได้ รูปแบบอย่างง่ายนี้แสดงดังรูปที่ 2.17



รูปที่ 2.17 แสดงรูปแบบอย่างง่ายของตัวเพียโซอิเล็กทริกทรานสฟอร์มเมอร์

จากรูป เมื่อให้ L เป็นความยาวของแผ่นชิ้นงาน เมื่อมีคลื่นนิ่งที่มีความยาวเท่ากับแผ่นชิ้นงาน (L) ถูกกระตุ้น จะได้ว่า จะมีคลื่นนิ่งของความยาวครึ่งคลื่นปรากฏอยู่บนฝั่งของ input (l_1) และฝั่งของ output (l_2) ของชิ้นงาน ค่าอัตราส่วนของกำลังขยาย (gain, V_{out} / V_{in}) ที่ได้จากรูปแบบของชิ้นงานนี้ จะมีค่าตามสมการที่ 2.24

$$r = \left(\frac{4}{\pi^2} \right) k_{31} k_{32} Q_m \left(\frac{l_2}{t} \right) \left[\frac{2\sqrt{s_{33}^E / s_{11}^E}}{1 + \sqrt{s_{33}^E / s_{11}^E}} \right] \quad (2.24)$$

- เมื่อ r คือ อัตราส่วนของกำลังขยาย
 k_{ij} คือ coupling coefficient
 Q_m คือ mechanical quality factor
 l_2 คือ ความยาวของชิ้นงานฝั่ง output (mm)

- t คือ ความหนาของชั้นงาน (mm)
 s_{ij} คือ elastic compliance (m^2/N)

2.10.2.1 เรโซแนนซ์โหมด (Resonance mode)

ในกรณีที่คลื่นกลเคลื่อนที่ในตัวกลางจะมีความสัมพันธ์เป็น

$$m\pi = \tan\left(\frac{\omega L}{2v}\right) \quad (2.25)$$

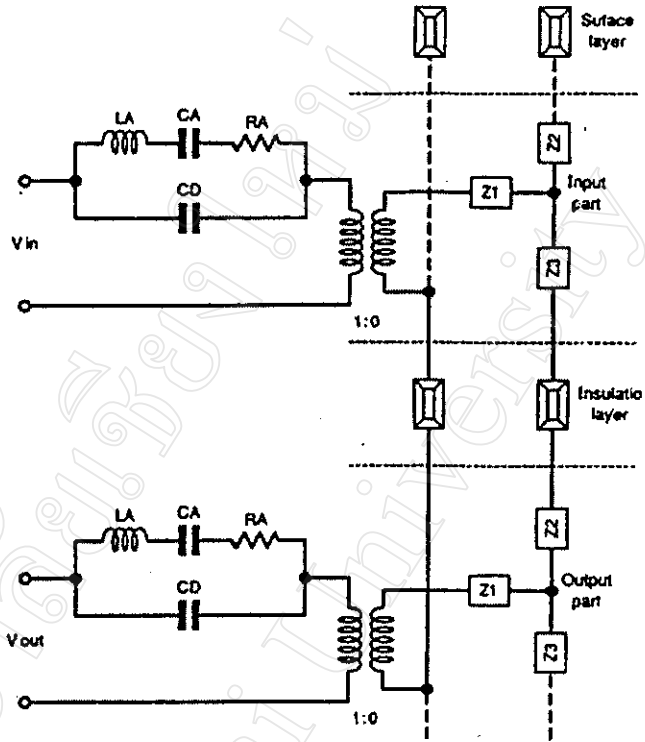
- เมื่อ m คือ เป็นจำนวนจริงใดๆ
 ω คือ $2\pi f$ (radian)
 L คือ ความยาวของชั้นงาน (m)
 v คือ ความเร็วของคลื่นกลที่เคลื่อนที่ในเนื้อสาร (m/s)

เมื่อให้ขั้วไฟฟ้าของขานเข้าวางในตำแหน่งที่เกิดความเค้นเป็นศูนย์จะทำให้แผ่นอุปกรณ์เพียโซเซรามิกส์เปลี่ยนตำแหน่งจากเดิมมากที่สุดและจะเกิดการส่งถ่ายพลังงานสูงสุด ซึ่งโหมดนี้ จะเกิดขึ้นเมื่อป้อนแหล่งจ่ายพลังงานให้กับขานเข้าที่ความถี่ทำงานวงจรสมมูลดังรูปที่ 2.18 โดยที่

$$L_A = \left(\frac{\rho}{8}\right) \left(\frac{Lt}{w}\right) \left(\frac{s_{11}^E}{d_{11}^E}\right) \quad (2.26)$$

$$C_A = \left(\frac{8}{\pi^2}\right) \left(\frac{Lt}{w}\right) \left(\frac{d_{11}^E}{s}\right) \quad (2.27)$$

- เมื่อ L_A คือ ค่าความเหนี่ยวนำของชั้นงาน (H)
 C_A คือ ค่าความจุไฟฟ้าของชั้นงาน (F)
 L คือ ความยาวของ PZT ของชั้นงาน (m)
 T คือ ความหนาของชั้นงาน (m)
 W คือ ความหนาของชั้นงาน (m)
 ρ คือ ความหนาแน่นของชั้นงาน (kg/m^3)



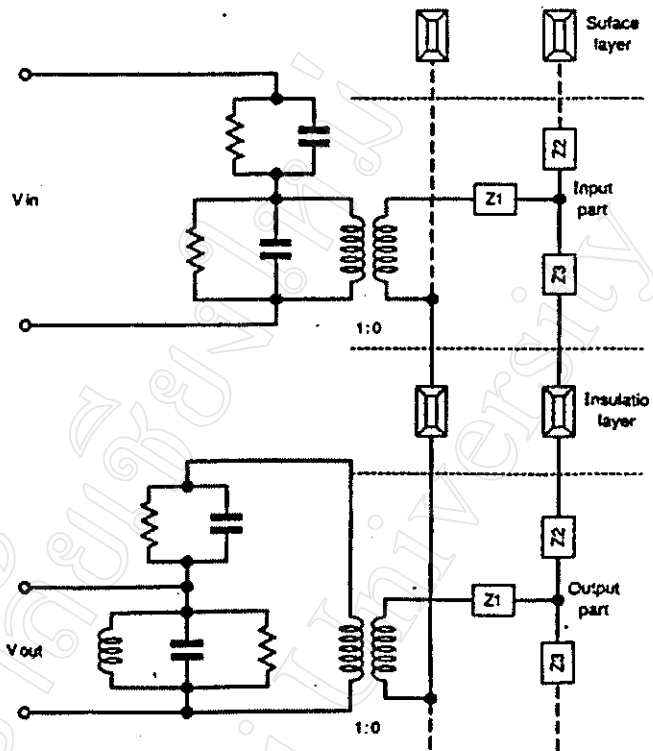
รูปที่ 2.18 แสดงวงจรสมมูลของเรโซแนนซ์โหมด

ในโหมดนี้จะมีค่าการทำงานเป็นไปตามสมการ

$$f_r = \frac{1}{(2L\sqrt{\rho s_{11}^E})} = \frac{v}{2L} \tag{2.28}$$

2.10.2.2 แอนติเรโซแนนซ์โหมด (Antiresonance mode)

ในโหมดนี้จะเกิดเมื่อค่าของการเชื่อมโยงไฟฟ้าเชิงกลของชั้นสารต่ำ แต่ให้ค่าความต้านทานวงจรที่สูง ดังในวงจรสมมูลในรูปที่ 2.19



รูปที่ 2.19 แสดงวงจรสมมูลของแอนติเรโซแนนซ์โหมด

การคำนวณหาค่าความถี่ของโหมดนี้ (f_s) หาได้จาก

$$\frac{\Delta f}{f_s} = \frac{4k_n^2}{(1-k_n^2)(\pi^2)} \quad (2.29)$$

เมื่อ $\Delta f = f_s - f_r$

ในปัจจุบันการใช้งานของของเพียโซอิเล็กทริกทรานสฟอร์มเมอร์ยังอยู่ในขอบเขตที่จำกัด เนื่องจากคุณลักษณะของเพียโซอิเล็กทริกทรานสฟอร์มเมอร์จะมีค่าเปลี่ยนแปลงตามโหลดและอุณหภูมิทำงาน

2.11 วิธีการหาค่าสมบัติชนิดต่างๆ ของสาร ที่ใช้ในงานวิจัยนี้

2.11.1 วิธีการวิเคราะห์สารตัวอย่างโดยวิธี X-ray Diffraction

เป็นวิธีการวิเคราะห์เพื่อให้ทราบชนิดของสารตัวอย่าง โดยอาศัยหลักการของการ Diffraction ของรังสีเอกซ์ที่อิงเข้าไปสู่เนื้อสารและมีการเลี้ยวเบนของรังสีเกิดการแทรกสอดกันที่มุมต่างๆ โดยที่สารแต่ละชนิดจะมีค่าของมุมของการเลี้ยวเบนที่แตกต่างกัน และอาศัยสมการของ Bragg (Bragg's law) มาเป็นตัวช่วยในการคำนวณ

วิธีการวิเคราะห์สามารถทำได้ดังนี้

1. นำสารผงตัวอย่างบรรจุใส่ลงใน ภาชนะบรรจุผง (holder) อัดให้แน่นและปิดผิวหน้าให้เรียบ
2. ใส่ภาชนะบรรจุผงที่เตรียมไว้ใส่ในเครื่อง X-ray Diffraction
3. ทำการตั้งค่าต่างๆที่ต้องการเช่น ช่วงของมุมที่ต้องการ, จำนวนองศา/ step และเวลาในการเก็บข้อมูลในแต่ละ step
4. เมื่อ run เครื่องจะได้ผลออกมาในรูปแบบของกราฟที่เรียกว่า X-ray diffraction pattern
5. นำค่ามุมที่ได้ (2θ) จากพีคต่างๆมาวิเคราะห์หาค่า d-spacing โดยใช้สมการของ Bragg คือ

$$2d\sin\theta = n\lambda \quad (2.30)$$

เมื่อ d คือ ค่า d-spacing
 θ คือ diffraction angle
 λ คือ ความยาวคลื่นของ X-ray (1.54 Å)

6. นำค่า d-spacing ที่คำนวณได้ไปเปรียบเทียบกับ JCPDS files.

2.11.2 วิธีการหาค่าความหนาแน่น

วิธีการหาค่าความหนาแน่นที่ใช้เรียกว่า วิธีการหาค่าความหนาแน่น โดยการแทนที่น้ำ ทำได้โดย

1. นำชิ้นงานเซรามิกส์มาอบให้แห้ง ในตู้อบที่อุณหภูมิ 110 °C เป็นเวลา 24 ชั่วโมง
2. ชั่งชิ้นงานตัวอย่าง เพื่อหาค่าน้ำหนักในอากาศ บันทึกผลเป็น W_1

3. นำชิ้นงานไปต้มในบีกเกอร์ เป็นเวลานาน 2 ชั่วโมง เพื่อให้น้ำเข้าไปแทนที่อากาศในเม็ดสาร จนกระทั่งอิ่มตัว
4. นำชิ้นงานมาทำการชั่งโดยเครื่องชั่งแบบละเอียด โดยทำการชั่งในน้ำ บันทึกผลเป็น W_2 และนำชิ้นงานออกมาชั่งน้ำให้แห้ง ชั่งในอากาศอีกครั้ง บันทึกผลเป็น W_3
5. นำผลที่ได้มาคำนวณค่าความหนาแน่น โดยคำนวณได้จากสมการ 2.31

$$\rho = \frac{W_1}{W_2 - W_3} \rho_{\text{น้ำ}} \quad (2.31)$$

เมื่อ	ρ	คือ ค่าความหนาแน่นของชิ้นงาน (g/cm^3)
	$\rho_{\text{น้ำ}}$	คือ ค่าความหนาแน่นของน้ำ ในอุณหภูมิขณะที่ทำการทดลอง (g/cm^3)
	W_1	คือ น้ำหนักชิ้นงานหลังการอบ (g)
	W_2	คือ น้ำหนักชิ้นงานชั่งในอากาศหลังการต้มในน้ำแล้วเช็ดให้แห้ง (g)
	W_3	คือ น้ำหนักชิ้นงานชั่งในน้ำ (g)

2.11.3 วิธีการหาค่าความหดตัว (Shrinkage) ของชิ้นงาน

ในการหาค่าความหดตัวของชิ้นงานหาได้จาก

1. วัดขนาดเส้นผ่านศูนย์กลางของชิ้นงานที่ได้หลังจากอัดขึ้นรูปแบบ disc หรือ อาจจะใช้วิธีการวัดขนาดเส้นผ่านศูนย์กลางภายในของช่องของบล็อกอัดสารก็ได้ บันทึกค่าเป็น ϕ_1
2. นำชิ้นงานของสารตัวอย่างไปผ่านการเผาซินเตอร์
3. วัดขนาดเส้นผ่านศูนย์กลางของชิ้นงานที่ผ่านการเผาแล้ว บันทึกค่าเป็น ϕ_2
4. นำข้อมูลที่ได้มาคำนวณหาค่าความหดตัวตามสมการที่ 2.32

$$\text{ค่าความหดตัว} = \frac{(\phi_2 - \phi_1)}{\phi_1} \times 100 \quad (2.32)$$

เมื่อ	ϕ_1	คือ ขนาดเส้นผ่านศูนย์กลางของชิ้นงานก่อนการเผาซินเตอร์ (mm)
	ϕ_2	คือ ขนาดเส้นผ่านศูนย์กลางของชิ้นงานหลังการเผาซินเตอร์ (mm)

2.11.4 วิธีการหาค่าความพรุน (Porosity)

วิธีการหาค่าความพรุน สามารถทำได้โดย

1. นำเม็ดสารที่ผ่านการซินเตอร์แล้ว เสิ้มนำไปชั่งสารโดยเครื่องชั่งละเอียดทศนิยม 4 ตำแหน่ง
2. นำเม็ดสารไปต้มในบีกเกอร์ เป็นเวลานาน 2 ชั่วโมง เพื่อให้ น้ำเข้าไปแทนที่อากาศในเม็ดสาร จนกระทั่งอิ่มตัว
3. ปลอ่ยให้เย็นลงจนถึงอุณหภูมิของห้องในน้ำ
4. จากนั้นนำสารตัวอย่างที่อิ่มตัวด้วยน้ำแล้ว ไปชั่งน้ำหนักในอากาศโดยเครื่องชั่งละเอียดอีกครั้ง
5. นำน้ำหนักที่ได้จากครั้งแรก (W_1) และครั้งที่ 2 (W_2) ไปคำนวณหาค่า porosity จากสูตร

$$\text{ร้อยละของความพรุนโดยน้ำหนัก} = \frac{W_2 - W_1}{W_1} \times 100 \quad (2.33)$$

เมื่อ W_1 คือ น้ำหนักของเม็ดสารตัวอย่างที่ผ่านการอบให้แห้งแล้ว (g)
 W_2 คือ น้ำหนักของเม็ดสารตัวอย่างที่อิ่มตัวด้วยน้ำ (g)

2.11.5 วิธีการหาค่าสภาพยอมสัมพัทธ์ (Relative Permittivity)

โดยการใช้เครื่องวัดค่า capacitance ทำการวัดค่า C แล้วนำค่าที่ได้ไปคำนวณหาค่า relative permittivity (ϵ_r) โดยใช้สมการที่ 2.34

$$C = \epsilon_0 \epsilon_r \left(\frac{A}{d} \right) \quad (2.34)$$

เมื่อ A คือ พื้นที่หน้าตัด (m^2)
d คือ ความหนา (m)
 ϵ_0 คือ 8.85×10^{-12} (F/m)
C คือ ค่าความจุไฟฟ้า (F)

2.11.6 วิธีการหาค่า Resonance frequency (f_r) และ Antiresonance frequency (f_a)

เป็นวิธีการทดลอง เพื่อหาค่าของ f_r , f_a โดยได้อาศัยแนวคิดจากการที่สารจะเปลี่ยนแปลงค่าของอิมพีแดนซ์ของเม็ดสารตัวอย่างที่ตอบสนองต่อค่าของสนามไฟฟ้าที่ความถี่ต่างๆ ไม่เท่ากัน โดยค่าอิมพีแดนซ์ของสารตัวอย่างจะมีค่า minimum ที่ความถี่เรโซแนนซ์ และสารตัวอย่างจะมีค่าของอิมพีแดนซ์ที่ maximum ที่ความถี่แอนติเรโซแนนซ์ โดยมีวิธีการวัด คือ

1. นำสารตัวอย่างที่ได้จากการโพลแล้วมาต่อกับตัวต้านทานภายนอก (ค่าสูง) และเครื่องกำเนิดสัญญาณความถี่ (frequency generator) โดยวงจรอนุกรม
2. ต่อเครื่อง frequency counter คล่อมเครื่องกำเนิดสัญญาณความถี่เพื่อใช้อ่านค่าของความถี่
3. ต่อเครื่อง oscilloscope คล่อมสารตัวอย่างเพื่อใช้ในการสังเกตค่าการตอบสนองสัญญาณความถี่ของเม็ดสารตัวอย่าง
4. เปลี่ยนค่าความถี่ที่ป้อนให้แก่วงจร โดยปรับที่ตัวกำเนิดสัญญาณความถี่แล้วสังเกตค่าที่ปรากฏบนจอ oscilloscope
5. บันทึกค่าความถี่ที่ทำให้สัญญาณที่ปรากฏบนจอ oscilloscope มีค่า minimum ให้เป็น f_r และ ความถี่ที่ทำให้สัญญาณบนจอ oscilloscope มีค่า maximum เป็น f_a

2.11.7 วิธีการหาค่า Dielectric Strength

ค่า dielectric strength มีประโยชน์ในการพิจารณาเพื่อหาค่าของสนามไฟฟ้าที่ใช้ในการโพลสาร โดยที่ได้สารที่มีคุณภาพดีที่สุดและสารไม่ถูกทำลาย สามารถหาค่าของ dielectric strength ได้โดย

1. นำเม็ดสารที่ผ่านกระบวนการเผาซินเตอร์แล้วมาขัดผิวให้เรียบแล้วทากาวเงินที่เม็ดสารทั้งสองด้านตรงข้ามกัน
2. ทำการต่อขั้วเม็ดสารตัวอย่างกับเครื่องกำเนิดไฟฟ้ากระแสตรงแรงดันสูง ที่มีวงจรการตัดไฟเมื่อเกิดการลัดวงจรทางไฟฟ้า
3. ทำการปรับค่าแรงดันไฟฟ้าให้เพิ่มขึ้นอย่างช้าๆ จนกระทั่งเม็ดสารตัวอย่างเกิดการ breakdown
4. บันทึกค่าศักย์ไฟฟ้าสูงสุดเป็นค่า break down voltage
5. สามารถคำนวณค่า dielectric strength จากค่า break down voltage ที่ได้หารด้วยค่าความหนาของเม็ดสารตัวอย่าง

2.11.8 วิธีการคำนวณหาค่าสัมประสิทธิ์คู่ควบแนวระนาบ (k_p)

ค่าสัมประสิทธิ์คู่ควบแนวระนาบ (Planar Coupling Coefficient, k_p) เป็นค่าหนึ่งที่สามารถบ่งชี้ถึงสัมประสิทธิ์การเปลี่ยนแปลงพลังงาน สามารถหาได้โดยใช้สมการที่ 2.14 และใช้ค่า f_c, f_u ที่ได้จากการทดลองมาคำนวณหาค่า โดยมีข้อจำกัดที่ว่า การใช้สมการที่ 2.14 นี้ รูปร่างของสารตัวอย่างจะต้องมีลักษณะแบบ disc เท่านั้น

มหาวิทยาลัยเชียงใหม่
Chiang Mai University